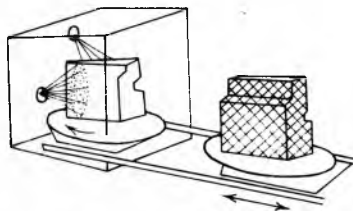


menog pjeska na površinu odljevka i tako ga čisti. Pri tom se pjesak usitnjava, stvarajući velike količine kremene prašine. Pjeskanje je skuplje od sačmanja zbog relativno velikog utroška energije za proizvodnju komprimiranog zraka i odvod nastale prašine; kremeni se pjesak može upotrijebiti samo za jedno čišćenje, dok metalna sačma služi za višekratnu upotrebu, a i čišćenje pjeskom traje duže nego čišćenje sačmom.



Sl. 27. Sačmalica s komorom

Pogreške na odljevcima. Kvaliteta dovršenog odljevka ovisi o mnogobrojnim faktorima koji u različitim oblicima i na različite načine sudjeluju u tehnološkom procesu proizvodnje odljevaka. Svaki od tih faktora zasebno, ili interakcija više faktora zajedno, može biti uzrok grešaka na odljevku. Zadatak je kontrolje kvalitete dovršenih odljevaka da različitim metodama pronađe moguće greške i da ustaniovi da li odljevak zadovoljava propisane zahtjeve i standarde.

Prema najnovoj međunarodnoj klasifikaciji, greške se na odljevcima svrstavaju u sedam razreda. Svaki se razred dalje raspoređuje na skupine, svaka skupina na podskupine, a podskupine na pojedinačne greške. Tom je klasifikacijom definirano 110 pojedinačnih grešaka, raspoređenih u razrede na sljedeći način:

Razred A000. Metalne izrasline: suvišne pločaste ili masivne izbočine; neravnomerna površina zadebljanja; udubljenja uljevene šupljine koja su djelomično ili potpuno ispunjena skrućenom litinom.

Razred B000. Šupljine: odljevak ima u unutrašnjosti ili na površini jednu ili više šupljina koje potječu od zraka ili plinova, odnosno posljedica su slijeganja.

Razred C000. Prekinuti odljevak: masa odljevka je djelomično ili potpuno prekinuta; položaj prekida prema površini odljevka može biti proizvoljan; pojedini dijelovi mogu se još držati skupa, mogu biti razmaznuti ili potpuno odvojeni.

Razred D000. Površinski nedostaci: površine odljevaka nisu dovoljne glatke ili homogene, ili se na njima nalaze nabori, plitke jamicice ili plitki uključci. Ako su te greške većih razmjera, onda se nazivaju šupljinama (B000) ili uključcima (G000).

Razred E000. Nepotpuni odljevak: nedostaje dio odljevka, bilo zbog nedovoljno ispunjene uljevene šupljine, bilo zbog prijeloma.

Razred F000. Netočnosti mjera i oblika: odljevak ima pravilan geometrijski oblik, ali su mu dimenzije netočne; geometrijski oblik odljevka je netočan i izvitoperen.

Razred G000. Uključci i heterogenost: u osnovnoj se masi nalaze strana tijela (uključci metala, pjeska, troske, oksida

itd.) s izdancima ili bez njih na površini. Heterogenošću se smatra nejednak izgled i raspored svojstava u odljevku (strukturne anomalije).

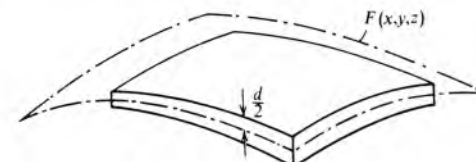
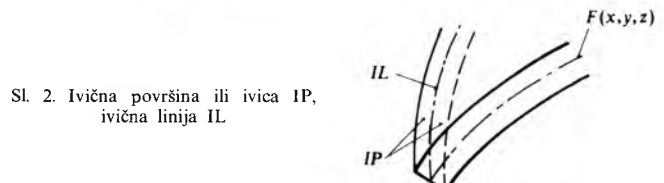
Popravljanje odljevaka. Neke se greške na odljevcima mogu i popraviti. Površinske šupljine koje kvare izgled odljevka popunjavaju se pastom (kitom) od metalnog praha i veziva. Veća se porozna mjesta zatrvaju nanošenjem i ubrizgavanjem istorodnog rastaljenog metala (metализiranje), a sitne se poroznosti impregniraju prikladnim tekucinama koje ulaze u mikropore i tu čvrstu. Elektičnim ili plinskim zavarivanjem mogu se popuniti i zatvoriti šupljine i pukotine. Nepotpuni odljevci popravljaju se ljevačkim zavarivanjem tako da se dio odljevka, koji nedostaje, naknadno dolije (sl. 28). Taj se postupak najviše primjenjuje za popravke velikih odljevaka od sivog lijeva. Slomljeni ili naprsli odljevci, koji kasnije neće biti mehanički opterećeni, mogu se popraviti lemljenjem.

Da li će se neki odljevak s greškom popravljati, i koji će se postupak primijeniti za popravak, ovisi o vrsti greške i namjeni odljevaka.

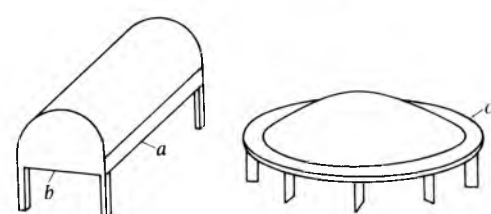
LIT.: R. Girard, La fonderie sous pression. ATF, Paris 1953. — E. Brumhuber, Leicht- und Schwermetall-Kokillenguss. Schiele Schön, Berlin 1958. — G. Sömigli, Fonderia meccanizzata. AIM, Milano 1960. — F. Roll, Handbuch der Giesserei-Technik. Springer Verlag, Berlin 1963. — F. Hoffmann, Technologie der Giessereiformstoffe. Georg Fischer, Schaffhausen 1965. — W. R. Heine, C. P. Rosenthal, Principles of metal casting. McGraw-Hill, New York 1967. — V. Kondic, Metallurgical principles of founding. E. Aron, London 1968. — P. R. Beeley, Foundry technology. Butterworths, London 1972. — International atlas of casting defects. American Foundrymen's Society, Des Plaines 1974.

C. Pelhan

LJUSKE, tankozidne zakriviljene noseće konstrukcije sa prostornim prenošenjem opterećenja (v. Armiranobetonske konstrukcije, TE 1, str. 403). U odnosu na ostale dimenzije ljske njen je debljinu vrlo mala. Skup tačaka koje polove debljinu ljske obrazuje srednju površinu ljske (sl. 1). Granična površina ljske, koja je upravna na srednju površinu ljske, naziva se ivičnom površinom ili ivicom, a ivičnom linijom pre-

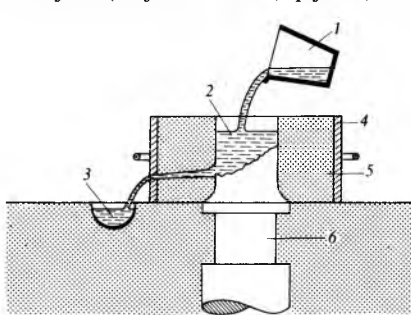
Sl. 1. Srednja površina ljske $F(x, y, z)$ 

Sl. 2. Ivica ljske IP, ivična linija IL



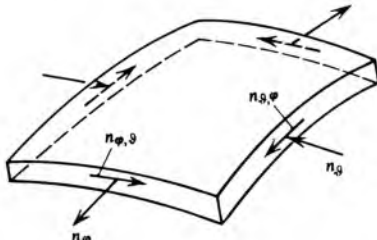
Sl. 3. Ivični element a, ivična dijafragma b, ivični prsten c

sečna linija ivične i srednje površine (sl. 2). Ljske su obično ograničene ivičnim elementima (a na sl. 3) i ivičnim dijafragmama (b na sl. 3), ili su obuhvaćene ivičnim prstenom (c na sl. 3).



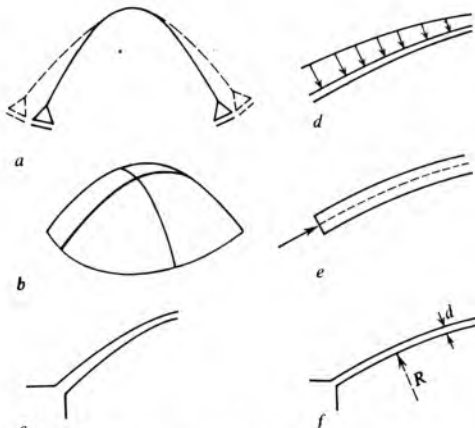
Sl. 28. Ljevačko zavarivanje sivog lijeva. 1 lonac, 2 rastaljeni metal, 3 bazen za višak materijala, 4 kalupnik, 5 pjesak, 6 odljevak

Membransko stanje. Zbog svoje zakrivljenosti ljske prenose opterećenje uglavnom unutrašnjim, normalnim i smičućim silama, koje se nazivaju membranskim silama. To stanje naprezanja ljske, bez momenata savijanja, naziva se *membransko stanje*. Pri tome se pretpostavlja da je krutost ljske, s obzirom na njenu debljinu, mala, tako da se otpornost prema savijanju može zanemariti u odnosu na otpornost prema normalnim i smičućim silama koje deluju u srednjoj površini ljske (sl. 4). Pretpostavlja se da su te sile ravnomerno raspodeljene po debljini ljske, da se njihova rezultanta nalazi u srednjoj površini ljske i da se ljska delovanjem membranskih sila neometano deformiše.

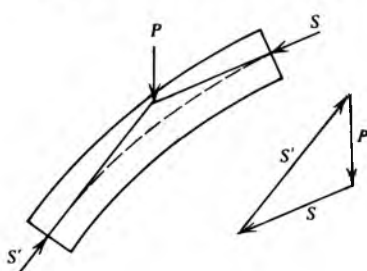


Sl. 4. Membranske sile: n_ϕ , n_g normalne sile;
 $n_{\phi, \beta}$, $n_{\beta, \phi}$, $n_{\phi, \phi}$ smičuće sile

Za ostvarenje membranskog stanja neophodni su sledeći uslovi: tangencijalno oslanjanje s pomerljivošću u pravcu normale na srednju površinu ljske (sl. 5a); kontinualnost promene nagibnog ugla i krivine srednje površine ljske u svim tačkama (sl. 5b); kontinualna promena debljine ljske (sl. 5c); kontinualnost promene opterećenja po površini ljske (sl. 5d); tangencijalni pravac sile na slobodnim ivicama ljske (sl. 5e) i neznatna debljina ljske s obzirom na njene ostale dimenzije (sl. 5f).



Sl. 5. Uslovi za membransko stanje

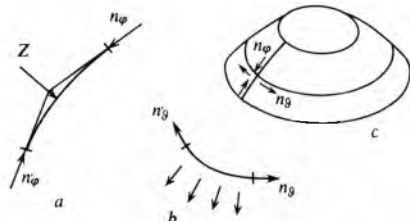


Sl. 6. Skretanje linije sile u jednoj od luka usled spoljnog opterećenja

Ti uslovi i prethodne pretpostavke najčešće nisu potpuno ostvarljivi i većinom se ne mogu izbeći momenti savijanja na pojedinim ograničenim sektorima, naročito u ivičnom elementu ili prstenu. Membranska teorija je ograničene tačnosti, a nekad naponsko stanje ljske ne može se odrediti njenom pri-

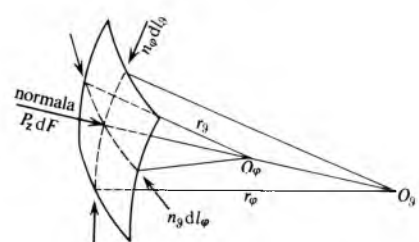
menom. Tačnija i ujedno složenija teorija savijanja iziskuje komplikovane proračune, a razrađena je samo za jednostavnije slučajeve. Zbog toga se u praksi primenjuje membranska teorija, iako ona uvek ne pruža vernu sliku naponskog stanja ljske.

Za razliku od lukova i višečih konstrukcija, gde se poligon sile usled spoljnog opterećenja nalazi u jednoj ravni (sl. 6), u ljskama se uticaj spoljne sile prenosi prostorno. U ljskama u obliku rotacione kupole (sl. 7c) usled sopstvene težine javlja se aksijalna sila pritiska koja prati zakrivljenost meridijana, slično kao u svodu (sl. 7a), a u pojasu po horizontalnom krugu aksijalna sila pritiska ili zatezanja (zavisno od udaljenosti od temena kupole), kao dejstvo prstena ili lanca (sl. 7b).



Sl. 7. Prostorno noseće dejstvo ljske: a lučno dejstvo, b dejstvo lanca, c prikaz dejstava luka i lanca na rotacionoj ljsci

Površinsko opterećenje ljske razlaže se na tangencijalne komponente p_x i p_y i na komponentu p_z upravnu na srednju površinu ljske (sl. 8). Komponenta p_z prenosi se unutrašnjim silama ljske na linije glavnih krivina, tj. na linije sa ekstremnim vrednostima krivina koje se u dvostruko zakrivljenim površinama nalaze u međusobno upravnim ravninama. Zbog toga se, usled opterećenja silama upravnim na srednju površinu ljske, javljaju ortogonalne trajektorije membranskih sila u pravcu linija najveće i najmanje krivine.



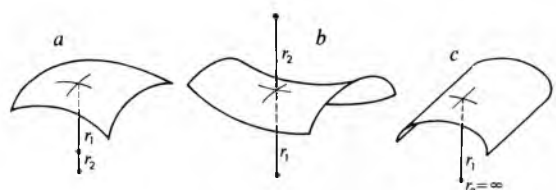
Sl. 8. Prenošenje spoljnog opterećenja prema normali na srednju površinu u pravcu linija najveće i najmanje krivine

Geometrijske površine ljske, tj. srednje površine ljski klasificiraju se prema predznaku Gaussove krivine

$$K = K_1 K_2 = \frac{1}{r_1 r_2}, \quad (1)$$

gde je $K_1 = \frac{1}{r_1}$ prva glavna krivina, a $K_2 = \frac{1}{r_2}$ druga glavna krivina u tački površine. Karakteristični su sledeći slučajevi (sl. 9): pozitivno dvostruko zakrivljene površine

$$\frac{1}{r_1 r_2} > 0, \quad (2)$$



Sl. 9. Klasifikacija površina prema predznaku Gaussove krivine: a pozitivno dvostruko zakrivljena površina, b negativno dvostruko zakrivljena površina, c jednostruko zakrivljena površina

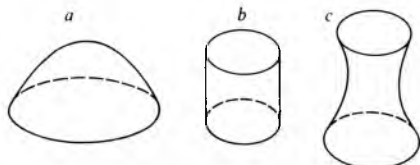
negativno dvostruko zakrivljene površine

$$\frac{1}{r_1 r_2} < 0, \quad (3)$$

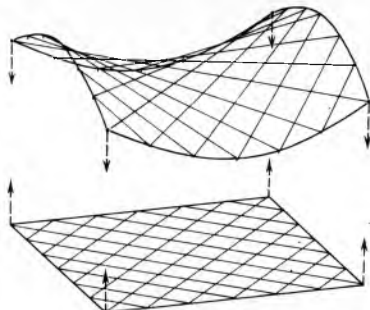
jednostruko zakrivljene površine

$$(r_2 = \infty) \frac{1}{r_1 r_2} = 0. \quad (4)$$

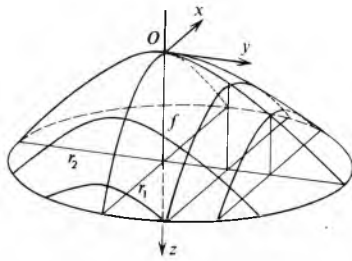
Ljuske se klasificiraju i prema obliku površine. Rotacione površine s vertikalnom ili horizontalnom osom rotacije primenjuju se obično s meridianom u obliku kružnog luka, prave ili hiperbole (sferna kalota, kružni cilindar, rotacioni hiperboloid, sl. 10). Translatorne površine ljuski pogodne su za primenu zbog ponavljanja identičnih paralelnih preseka (sl. 11 i 12). Isto tako su povoljne i translatorne površine izvedene kretanjem pravolinijskih izvodnica (sl. 13). Kada je jedna od krivih prava linija, prema primerima na sl. 11 i sl. 12 dobija se cilindrična površina (sl. 14).



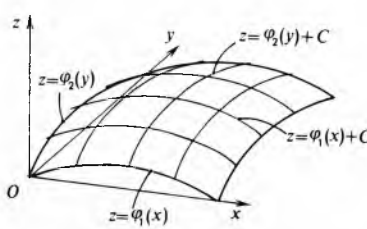
Sl. 10. Rotacione površine, a sferna kalota, b kružni cilindar, c rotacioni hiperboloid



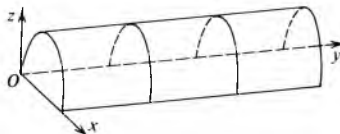
Sl. 13. Translatorna površina sa pravim izvodnicama (sa horizontalnom projekcijom izvodnice)



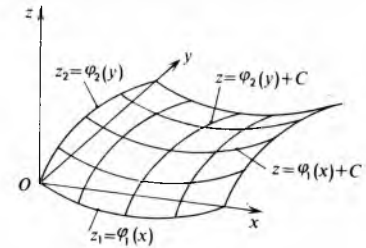
Sl. 16. Eliptični paraboloid izveden translacijom jedne po drugoj paraboli



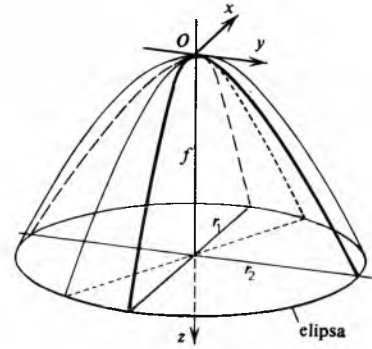
Sl. 11. Translatorna površina sa pozitivnom Gaussovom krivinom



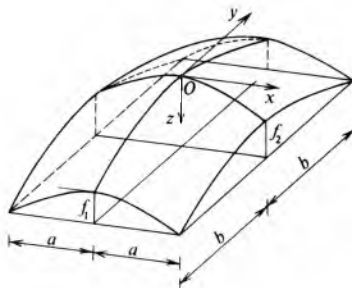
Sl. 14. Translatorna površina sa krivolinijskom vodiljom i pravom izvodnicom (cilindrična površina)



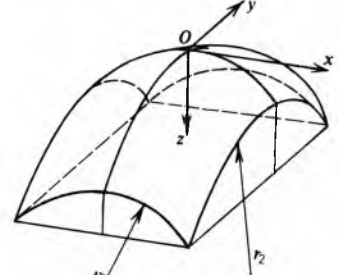
Sl. 12. Translatorna površina sa negativnom Gaussovom krivinom



Sl. 15. Eliptični paraboloid



Sl. 17. Eliptični paraboloid na pravougaonoj osnovi



Sl. 18. Kružna translatorna površina sa pozitivnom Gaussovom krivinom

Translatorne površine ljuski s pozitivnom Gaussovom krivinom najviše su zastupljene eliptičnim paraboloidom, koji se definije jednačinom

$$z = f \left[\left(\frac{x}{r_1} \right)^2 + \left(\frac{y}{r_2} \right)^2 \right] \quad (5)$$

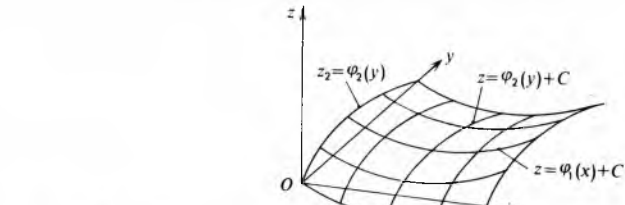
sa temenom O u koordinatnom početku i elipsom sa poluosama r_1 i r_2 na rastojanju f od temena (sl. 15). Koordinatne ose x i y paralelne su sa osama elipse, a koordinatne ravni xOz i yOz su ravni simetrije, kojima preseći sa eliptičnim paraboloidom daju njegove glavne parabole

$$z_1 = f \frac{x^2}{r_1^2} \quad \text{i} \quad z_2 = f \frac{y^2}{r_2^2}. \quad (6)$$

Preseci ravnima $y = c_2$ i $x = c_1$ paralelnim sa koordinatnim ravnima daju parabole podudarne sa glavnim parabolama, samo pomerene od ose Oz , jer je

$$z = f \left(\frac{x}{r_1} \right)^2 + f \left(\frac{c_2}{r_2} \right)^2 = z_1 + k_1 \quad \text{i} \quad z = f \left(\frac{y}{r_2} \right)^2 + f \left(\frac{c_1}{r_1} \right)^2 = z_2 + k_2, \quad (7)$$

što pokazuje da eliptični paraboloid nastaje translacijom jedne glavne parabole po drugoj glavnoj paraboli i obrnuto (sl. 16). Preseci eliptičnog paraboloida ravnima $z = c$ ($c > 0$), paralelnim sa koordinatnom ravninom xOy , daju elipse, što je očigledno kada se $z = c$ unese u jednačinu eliptičnog paraboloida (5). Eliptični paraboloid nad osnovom u obliku pravougaonika, sa



Sl. 19. Eliptični paraboloid nad osnovom u obliku pravougaonika

stranama $2a$ i $2b$ i strelama ivičnih parabola f_1 i f_2 (sl. 17), definisan je jednačinom

$$z = f_1 \left(\frac{x}{a} \right)^2 + f_2 \left(\frac{y}{b} \right)^2. \quad (8)$$

Kružna translatorna površina sa pozitivnom Gaussovom krivinom (sl. 18) određena je poluprečnicima r_1 i r_2 krugova, od kojih je jedan izvodni, a drugi direktni (analogno glavnim parabolama eliptičnog paraboloida).

Translatorne površine ljuski sa negativnom Gaussovom krivinom najviše su zastupljene hiperboličnim paraboloidom, koji se definije jednačinom

$$z = f \left[\left(\frac{x}{a} \right)^2 - \left(\frac{y}{b} \right)^2 \right], \quad (9)$$

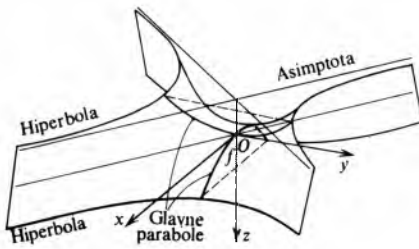
sa temenom O u koordinatnom početku i hiperbolama sa poluosama a i b na rastojanju $\pm f$ od temena (sl. 19). Preseci hiperboličnog paraboloida njegovim simetralnim koordinatnim ravnima xOz i yOz daju njegove glavne parbole

$$z_1 = f \frac{x^2}{a^2} \quad \text{i} \quad z_2 = -f \frac{y^2}{b^2}. \quad (10)$$

Kao i za eliptični paraboloid, preseci ravnina $y = c_2$ i $x = c_1$ paralelnim sa koordinatnim ravnima daju parbole podudarne sa glavnim parabolama, samo pomerene od ose Oz , jer je

$$z = f \left(\frac{x}{a} \right)^2 - f \left(\frac{c_2}{b} \right) = z_1 - k_1 \quad \text{i} \quad z = -f \left(\frac{y}{b} \right)^2 + f \left(\frac{c_1}{a} \right)^2 = z_2 + k_2. \quad (11)$$

Prema tome, hiperbolični paraboloid dobija se translacijom jedne glavne parbole po drugoj glavnoj paraboli ili obrnuto.



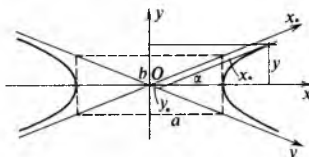
Sl. 19. Hiperbolični paraboloid

Preseci hiperboličnog paraboloida ravnima $z = c$, paralelnim sa koordinatnom ravnim xOy , daju hiperbole, što se uočava kada se $z = c$ unese u jednačinu hiperboličnog paraboloida (9). Za $z = 0$, tj. presekom koordinatnom ravni xOy dobija se jedan par pravih linija

$$\frac{x^2}{a^2} - \frac{y^2}{b^2} = 0 \quad \text{i} \quad y = \pm \frac{b}{a} x. \quad (12)$$

Par vertikalnih ravnih provučenih kroz ove prave sadrži asimptote hiperboli u horizontalnim presecima (u ravnima paralelnim sa koordinatnom ravnim xOy). Ako se umesto pravougaonog koordinatnog sistema uzme kosougli sistem sa koordinatnim osama x_* i y_* , koje se poklapaju sa parom pravih linija $y = \pm \frac{b}{a} x$ (sl. 20), veza sa prvobitnim koordinatama dobija se pomoću jednačina

$$x = \cos \alpha (x_* + y_*), \quad y = \sin \alpha (y_* - x_*). \quad (13)$$



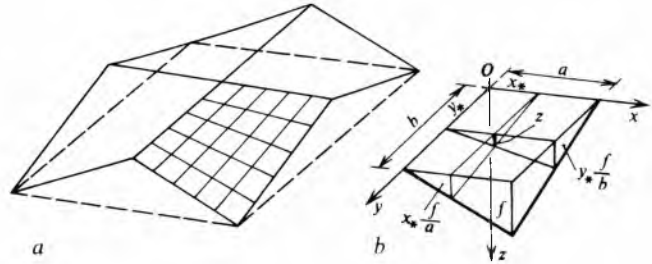
Sl. 20. Prelaz iz pravougaonog u kosouglasti koordinatni sistem radi dobijanja pogodnije jednačine hiperboličnog paraboloida

Unošenjem x i y u jednačinu hiperboličnog paraboloida i zamjenom $\cos^2 \alpha = \frac{a^2}{a^2 + b^2}$ i $\sin^2 \alpha = \frac{b^2}{a^2 + b^2}$, dobija se jednačina hiperboličnog paraboloida u kosouglogu koordinatnom sistemu $O(x_*, y_*, z_*)$

$$z = \frac{4f}{a^2 + b^2} x_* y_*. \quad (14)$$

koja pokazuje da svaka tačka površine sadrži par pravih izvodnica u ravnima paralelnim sa koordinatnim ravnima xOz i yOz . Kada su asimptotne ravnini upravne, kao što je to za hiperbolični paraboloid nad pravougaonom osnovom (sl. 21 a), glavne parbole su podudarne i jednačina površine dobija se direktno (sl. 21 b)

$$z = \frac{f}{ab} x_* y_*. \quad (15)$$



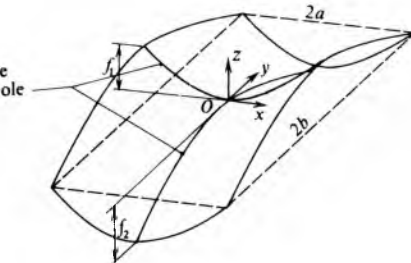
Sl. 21. Element ravnostranog hiperboličnog paraboloida sa upravnim asimptotama, a element površine u sklopu krovne ljske, b element površine u pravougaonom koordinatnom sistemu

Hiperbolični paraboloid nad osnovom u obliku pravougaonika, sa stranama $2a$ i $2b$ i strelama ivičnih parabola f_1 i f_2 (sl. 22), definisan je jednačinom

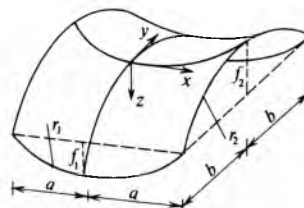
$$z = f_1 \left(\frac{x}{a} \right)^2 - f_2 \left(\frac{y}{b} \right)^2. \quad (16)$$

Kružna translatorna površina sa negativnom Gaussovom krivinom (sl. 23) određena je poluprečnicima r_1 i r_2 krugova, od kojih je jedan izvodni, a drugi direktivni (analogno glavnim parabolama hiperboličnog paraboloida).

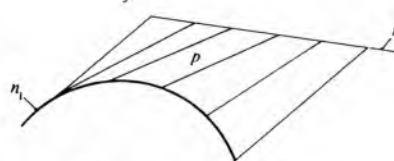
Konoidna površina nastaje kada se prava p kreće tako da uvek ostaje paralelna direktivnoj ravni i seče krivu n_1 i pravu n_2 (sl. 24).



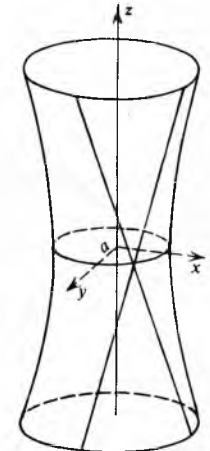
Sl. 22. Hiperbolični paraboloid nad pravougaonom osnovom



Sl. 23. Kružna translatorna površina sa negativnom Gaussovom krivinom



Sl. 24. Konoidna površina



Sl. 25. Rotacioni hiperboloid

Rotacioni hiperboloid spada u površine izvedene pravim linijama (sl. 25), pošto nastaje rotacijom prave oko ose koje nisu u istoj ravni, a može se izvesti i rotacijom oko iste ose hiperbole koja je meridijan te površine. Ako je jednačina hiperbole (meridijana)

$$\frac{x^2}{a^2} - \frac{z^2}{b^2} = 1, \quad (17)$$

onda je jednačina rotacionog hiperboloida

$$\frac{x^2}{a^2} + \frac{y^2}{b^2} - \frac{z^2}{c^2} = 1. \quad (18)$$

Preseci horizontalnim ravnima $z = c$ daju krugove

$$x^2 + y^2 = \left(1 + \frac{c^2}{b^2}\right)a^2. \quad (19)$$

Preseci vertikalnim ravnima kroz osu rotacije daju hiperbolu, pa se za $y = 0$ dobija

$$\frac{x^2}{a^2} - \frac{z^2}{b^2} = 1. \quad (20)$$

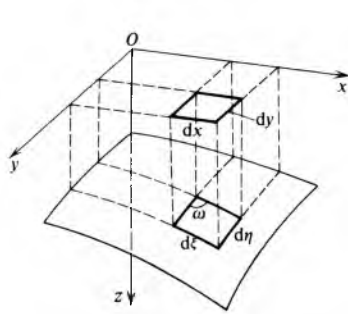
Presek vertikalnom ravni $y = a$ daje

$$\frac{x^2}{a^2} = \frac{z^2}{b^2}, \quad (21)$$

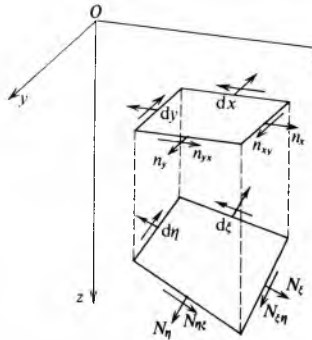
što odgovara paru pravih linija

$$z = \pm \frac{b}{a}x. \quad (22)$$

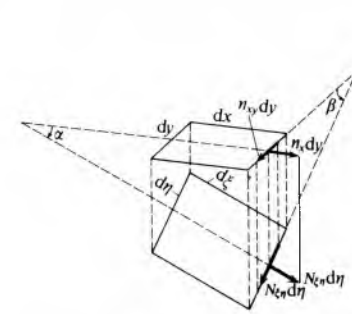
Na sličan način može se pokazati da svaka tačka rotacionog hiperboloida sadrži par pravih linija koje leže na njegovoj površini. Ako se na krugu nastalom presekom horizontalne ravnii $z = 0$ izaberu tačke saglasno podeli kruga na jednake delove, a zatim kroz ove tačke povuku prave izvodnice, površina rotacionog hiperboloida biće podeljena na rombične elemente, koji kao ravne, obično kasetirane ploče, mogu da posluže za formiranje ljske na montažni način.



Sl. 26. Element ljske i njegova projekcija u ravni xOy



Sl. 27. Stvarne i redukovane komponente sile na elementu ljske



Sl. 28. Odnos komponentnih sile n_x , n_{xy} i N_z , N_{xy} elementa ljske

Opšta membranska teorija. U pravougaonom koordinatnom sistemu (x, y, z) , prema sl. 26, srednja površina ljske definije se relacijom

$$z = f(x, y) \quad (23)$$

i naziva se funkcijom oblika, uz pretpostavku da se može najmanje dvaput diferencirati u unutrašnjim tačkama površine. Pravougaonom elementu strana dx i dy , dobijenom u ravni xOy presečima izvedenim ravnima paralelnim sa koordinatnim ravnima xOz i yOz , odgovara element na ljsici sa stranama $d\xi$ i $d\eta$. Ako je dF površina pravougaonog elementa u ravni xOy , onda je λdF površina elementa na ljsuci, gde je

$$\lambda = \sqrt{1 + (\partial z / \partial x)^2 + (\partial z / \partial y)^2}. \quad (24)$$

Opterećenje na ljsuci razlagaje se na komponente u koordinatnim pravama x , y , z , s tim što će se sa p_x , p_y , p_z označavati opterećenje po jedinici površine srednje površine ljske, a sa g_x , g_y , g_z opterećenje po jedinici površine u ravni xOy , tj. u osnovi. Između ovih komponenti postoji veza

$$p_x = \frac{g_x}{\lambda}, \quad p_y = \frac{g_y}{\lambda}, \quad p_z = \frac{g_z}{\lambda}, \quad (25)$$

pa se upotrebljavaju funkcije opterećenja g_x , g_y , g_z .

Na sl. 27 prikazano je obeležavanje sile na elementu ljske i na odgovarajućem pravougaonom elementu u osnovi, gde su unete sile pozitivnog smera. Zbog dualiteta važi

$$N_{\xi\eta} = N_{\eta\xi}. \quad (26)$$

Međusobne veze odgovarajućih sile na ovim elementima lako se izvode prema sl. 28, i one glase

$$N_\xi = n_x \frac{\cos \beta}{\cos \alpha}, \quad N_{\xi\eta} = n_{xy}, \quad N_\eta = n_y \frac{\cos \alpha}{\cos \beta}, \quad N_{\eta\xi} = n_{yx}, \quad (27)$$

gde je $\tan \alpha = \frac{\partial z}{\partial x}$, a $\tan \beta = \frac{\partial z}{\partial y}$, pa je zbog (26)

$$n_{xy} = n_{yx}. \quad (28)$$

Sile u pravcu međusobno upravnih osa u i v , dobijenih rotacijom koordinatnog sistema za ugao α (sl. 29a), određuju se iz sume u komponenti (sl. 29b), odnosno iz sume v komponenti (sl. 29c),

$$n_u dv - n_x dy \cos \alpha - n_y dx \sin \alpha - n_{xy} dy \sin \alpha - n_{yx} dx \cos \alpha = 0 \quad (29)$$

$$n_{uv} dv + n_x dy \sin \alpha - n_y dx \cos \alpha - n_{xy} dy \cos \alpha + n_{yx} dx \sin \alpha = 0. \quad (30)$$

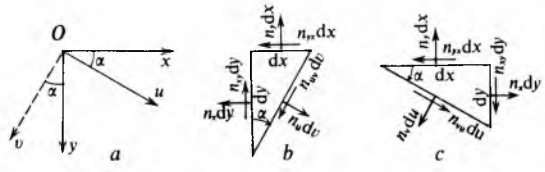
Deobom sa dv i uz $n_{xy} = n_{yx}$, $\frac{dx}{dv} = \sin \alpha$, $\frac{dy}{dv} = \cos \alpha$ dobija se

$$n_u = n_x \cos^2 \alpha + n_y \sin^2 \alpha + 2n_{xy} \cos \alpha \sin \alpha \quad (31)$$

$$n_{uv} = (n_y - n_x) \cos \alpha \sin \alpha + n_{xy} (\cos^2 \alpha - \sin^2 \alpha), \quad (32)$$

i na sličan način

$$n_v = n_x \sin^2 \alpha + n_y \cos^2 \alpha - 2n_{xy} \cos \alpha \sin \alpha \quad (33)$$



Sl. 29. Element ljske u uv koordinatnom sistemu. a relativni položaj prava x , y i z ; b projekcija u osnovi elementa ljske sa dejstvujućim silama za određivanje sile n_u i n_{uv} ; c projekcija u osnovi elementa ljske sa dejstvujućim silama za određivanje sile n_v i n_{vu}

$$n_{vu} = (n_y - n_x) \cos \alpha \sin \alpha + n_{xy} (\cos^2 \alpha - \sin^2 \alpha), \quad (34)$$

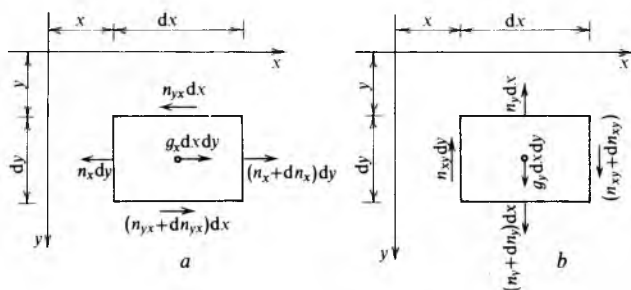
gde je očigledno $n_{vu} = n_{uv}$.

Uslovi ravnoteže na isečenom elementu ljske izražavaju se preko komponentnih koordinatnih pravâ:

a) za x komponente (sl. 30a) važi

$$dn_x dy + dn_{yx} dx + g_x dx dy = 0, \quad (35)$$

sa $dn_x = \frac{\partial n_x}{\partial x} dx$ i $dn_{yx} = \frac{\partial n_{yx}}{\partial y} dy$ dobija se



Sl. 30. Komponente sila na element ljudske. a) x komponente sila koje deluju na element ljudske, b) y komponente sila koje deluju na element ljudske

$$\frac{\partial n_x}{\partial x} dx dy + \frac{\partial n_{yx}}{\partial y} dy dx + g_x dx dy = 0, \quad (36)$$

i konačno

$$\frac{\partial n_x}{\partial x} + \frac{\partial n_{yx}}{\partial y} + g_x = 0; \quad (37)$$

b) za y komponente (sl. 30b), slično kao za x komponentu dobija se

$$\frac{\partial n_y}{\partial y} + \frac{\partial n_{xy}}{\partial x} + g_y = 0; \quad (38)$$

c) za z komponente (sl. 31) važi

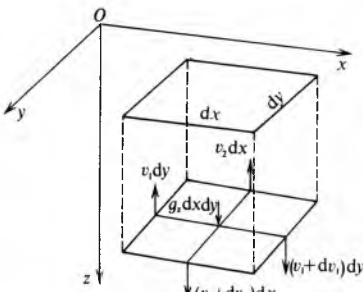
$$V_1 = n_x \frac{\partial z}{\partial x} + n_{xy} \frac{\partial z}{\partial y}, \quad V_2 = n_y \frac{\partial z}{\partial y} + n_{yx} \frac{\partial z}{\partial x}, \quad (39)$$

gde su, kao za (28), \$\tan \alpha = \frac{\partial z}{\partial x}\$ i \$\tan \beta = \frac{\partial z}{\partial y}\$. Tu je

$$dV_1 dy + dV_2 dx + g_z dx dy = 0, \quad (40)$$

gde je \$dV_1 = \frac{\partial V_1}{\partial x} dx\$, a \$dV_2 = \frac{\partial V_2}{\partial y} dy\$, i analogno kao za x komponente

$$\frac{\partial V_1}{\partial x} + \frac{\partial V_2}{\partial y} + g_z = 0. \quad (41)$$



Sl. 31. z komponente sila koje deluju na element ljudske

Zamenom vrednosti za \$V_1\$ i \$V_2\$ dobija se

$$\frac{\partial}{\partial x} \left(n_x \frac{\partial z}{\partial x} + n_{xy} \frac{\partial z}{\partial y} \right) + \frac{\partial}{\partial y} \left(n_y \frac{\partial z}{\partial y} + n_{yx} \frac{\partial z}{\partial x} \right) + g_z = 0. \quad (42)$$

i dalje

$$\begin{aligned} & n_x \frac{\partial^2 z}{\partial x^2} + \frac{\partial n_x}{\partial x} \frac{\partial z}{\partial x} + n_{xy} \frac{\partial^2 z}{\partial x \partial y} + \frac{\partial n_{xy}}{\partial x} \frac{\partial z}{\partial y} + \\ & + n_y \frac{\partial^2 z}{\partial y^2} + \frac{\partial n_y}{\partial y} \frac{\partial z}{\partial y} + n_{yx} \frac{\partial^2 z}{\partial x \partial y} + \frac{\partial n_{yx}}{\partial y} \frac{\partial z}{\partial x} + g_z = 0, \end{aligned} \quad (43)$$

a odatle

$$\begin{aligned} & n_x \frac{\partial^2 z}{\partial x^2} + (n_{xy} + n_{yx}) \frac{\partial^2 z}{\partial x \partial y} + n_y \frac{\partial^2 z}{\partial y^2} + \left(\frac{\partial n_x}{\partial x} + \frac{\partial n_{yx}}{\partial y} \right) \frac{\partial z}{\partial x} + \\ & + \left(\frac{\partial n_y}{\partial y} + \frac{\partial n_{xy}}{\partial x} \right) \frac{\partial z}{\partial y} + g_z = 0. \end{aligned} \quad (44)$$

Pošto je \$n_{xy} = n_{yx}\$, a zamenom iz (37) i (38)

$$\frac{\partial n_x}{\partial x} + \frac{\partial n_{yx}}{\partial y} = -g_x \quad i \quad \frac{\partial n_y}{\partial y} + \frac{\partial n_{yx}}{\partial x} = -g_y, \quad (45)$$

dobija se

$$n_x \frac{\partial^2 z}{\partial x^2} + 2n_{xy} \frac{\partial^2 z}{\partial x \partial y} + n_y \frac{\partial^2 z}{\partial y^2} + g'_z = 0, \quad (46)$$

$$\text{gde je } g'_z = g_z - g_x \frac{\partial z}{\partial x} - g_y \frac{\partial z}{\partial y}. \quad (47)$$

Uslovi ravnoteže membranskih ljudskih izraženi su izvedenim jednačinama (37), (38) i (46), koje zajedno formiraju sistem od tri simultane diferencijalne jednačine. Primenom postupka koji je uveo A. Pucher, rešavanje sistema od tri jednačine svodi se na rešenje samo jedne jednačine.

a) *Pucherova naponska funkcija za ljudske opterećene vertikalnim silama.* U tom je specijalnom slučaju \$g_x = g_y = 0\$, pa se sistem jednačina (37), (38), (46) svodi na jednostavniji oblik

$$\frac{\partial n_x}{\partial x} + \frac{\partial n_y}{\partial y} = 0 \quad i \quad \frac{\partial n_y}{\partial y} + \frac{\partial n_{xy}}{\partial x} = 0 \quad (48)$$

$$n_x \frac{\partial^2 z}{\partial x^2} + 2n_{xy} \frac{\partial^2 z}{\partial x \partial y} + n_y \frac{\partial^2 z}{\partial y^2} + g_z = 0. \quad (49)$$

Radi pojednostavljenja uvedi se Pucherova naponska funkcija \$F = F(x, y)\$ sa sledećim relacijama:

$$n_x = \frac{\partial^2 F}{\partial y^2}, \quad n_{xy} = n_{yx} = -\frac{\partial^2 F}{\partial x \partial y}, \quad n_y = \frac{\partial^2 F}{\partial x^2}. \quad (50)$$

Unošenjem ovih relacija u dve jednačine (48), vidi se da ih one zadovoljavaju, a kada se unesu u jednačinu (49), dobija se

$$\frac{\partial^2 z}{\partial x^2} \frac{\partial^2 F}{\partial y^2} - 2 \frac{\partial^2 z}{\partial x \partial y} \frac{\partial^2 F}{\partial x \partial y} + \frac{\partial^2 z}{\partial y^2} \frac{\partial^2 F}{\partial x^2} + g_z = 0. \quad (51)$$

To je Pucherova diferencijalna jednačina membranskih ljudskih opterećenih vertikalnim silama.

b) *Pucherova naponska funkcija za ljudske opterećene proizvoljnim silama.* Kada opterećenje ljudske ima sve komponente \$g_x\$, \$g_y\$, \$g_z\$, uvođi se uopštena Pucherova naponska funkcija sa sledećim relacijama:

$$n_x = \frac{\partial^2 F}{\partial y^2} - G_x, \quad n_{xy} = n_{yx} = -\frac{\partial^2 F}{\partial x \partial y}, \quad n_y = \frac{\partial^2 F}{\partial x^2} - G_y, \quad (52)$$

gde su \$G_x\$ i \$G_y\$ funkcije vezane za komponentna opterećenja po jedinici površine osnove

$$\frac{\partial G_x}{\partial x} = g_x, \quad \frac{\partial G_y}{\partial y} = g_y. \quad (53)$$

Naponska funkcija zadovoljava prve dve jednačine (37) i (38) sistema, a treća jednačina (46) je zadovoljena ako je ispunjen uslov

$$\frac{\partial^2 z}{\partial x^2} \left(\frac{\partial^2 F}{\partial y^2} - G_x \right) - 2 \frac{\partial^2 z}{\partial x \partial y} \frac{\partial^2 F}{\partial x \partial y} + \frac{\partial^2 z}{\partial y^2} \left(\frac{\partial^2 F}{\partial x^2} - G_y \right) + g'_z = 0. \quad (54)$$

Posle uređivanja te jednačine dobija se

$$\frac{\partial^2 z}{\partial x^2} \frac{\partial^2 F}{\partial y^2} - 2 \frac{\partial^2 z}{\partial x \partial y} \frac{\partial^2 F}{\partial x \partial y} + \frac{\partial^2 z}{\partial y^2} \frac{\partial^2 F}{\partial x^2} = g''_z = 0, \quad (55)$$

gde je

$$g''_z = g'_z - G_x \frac{\partial^2 z}{\partial x^2} - G_y \frac{\partial^2 z}{\partial y^2}. \quad (56)$$

Uvrštenjem izraza (47) u jednačinu (55) dobija se

$$g_z'' = g_z - g_x \frac{\partial z}{\partial x} - g_y \frac{\partial z}{\partial y} - G_x \frac{\partial^2 z}{\partial x^2} - G_y \frac{\partial^2 z}{\partial y^2}. \quad (57)$$

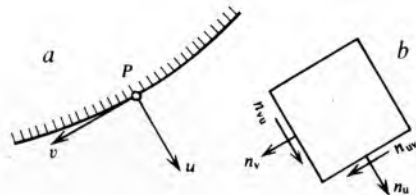
Jednačina (55) je Pucherova diferencijalna jednačina membranskih ljski opterećenih proizvoljnim silama.

Ivični uslovi. Rešenje sistema diferencijalnih jednačina (37), (38), (46) ili Pucherove diferencijalne jednačine (51) ili (57) treba da ispunji ivične uslove koji odražavaju oslanjanje ljske. U daljim razmatranjima razmatraće se samo opterećenja vertikalnim silama.

Neka je P proizvoljna tačka na projekciji u osnovi ljske, a u i v normala i tangenta u toj tački ivične linije (sl. 32a). Sile na elementu ljske u okolini tačke P prikazane su na sl. 32b i one se, za vertikalne sile, mogu izraziti pomoću Pucherove napomske funkcije

$$n_u = \frac{\partial^2 F}{\partial v^2}, \quad n_{uv} = n_{vu} = -\frac{\partial^2 F}{\partial u \partial v}, \quad n_v = \frac{\partial^2 F}{\partial u^2}. \quad (58)$$

Razmotriće se nekoliko karakterističnih slučajeva uslova oslanjanja ljske.



Sl. 32. Projekcija u osnovi ivične linije ljske (a), redukovane sile n_u , n_{uv} , n_v , n_{vu} (b)

1. Potpuno slobodne ivice ljske su one kada ljska nema nikakvo oslanjanje jer ne postoji bilo kakva konstrukcija (zid, ivična greda ili ivični luk). Tada nema mogućnosti da nastanu sile n_u i n_{uv} , jer nema ni odgovarajućih reakcija, pa je

$$n_u = 0, \quad n_{uv} = 0, \quad \frac{\partial^2 F}{\partial v^2} = 0, \quad \frac{\partial^2 F}{\partial u \partial v} = 0. \quad (59)$$

Ako je projekcija u osnovi potpuno slobodne ivice prava linija, tada je tangenta v ista u svakoj tački, pa je $\frac{\partial^2 F}{\partial v^2} = 0$, a napomska funkcija F na toj ivici može najviše da se menja linearno. Pošto je napomska funkcija površina u koordinatnom sistemu (x, y, z) , ona se naziva napomskom površinom, pa je zbog uslova $\frac{\partial^2 F}{\partial u \partial v} = 0$ na razmatranoj ivici nagibni ugao na napomsku površinu svuda konstantan. Stoga je za takvu ivicu

$$\frac{\partial F}{\partial x} = \text{const.}, \quad \frac{\partial F}{\partial y} = \text{const.} \quad (60)$$

Za potpuno slobodnu ivicu može se propisati da je

$$\frac{\partial F}{\partial x} = 0 \quad \text{i} \quad \frac{\partial F}{\partial y} = 0, \quad (61)$$

tako da je ispunjen uslov da bude $F = 0$.

2. Ako je ivica oslonjena na savitljiv element, nema otpora bočno usmerenim silama, tako da je u svakoj tački ivice

$$n_u = 0 \quad \text{i} \quad \frac{\partial^2 F}{\partial v^2} = 0. \quad (62)$$

Kada je savitljiva konstrukcija oslonca jedne ivice ivična greda ili ivični luk u vertikalnoj ravni, tada je tangenta v ista u svim tačkama te ivice, pa je

$$\frac{\partial^2 F}{\partial v^2} = 0 \quad \text{i} \quad \frac{\partial F}{\partial v} = \text{const}, \quad (63)$$

tj. ivična linija napomske površine je prava linija.

Ako su ljske oslonjene na savitljive konstrukcije u vertikalnim ravnima, može se staviti da je $F = 0$.

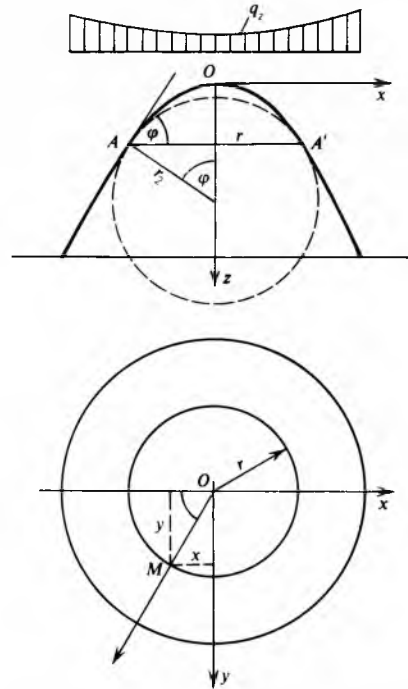
3. Kada konstrukcija oslonca ne pruža nikakav otpor tangencijalnim silama u pravcu V , ispunjen je uslov

$$n_{uv} = 0 \quad \text{i} \quad \frac{\partial^2 F}{\partial u \partial v} = 0. \quad (64)$$

4. Kad su ivice potpuno oslonjene, javljaju se sile n_u i n_{uv} i slučaj je statički neodređen, osim za rotaciono simetrično opterećene i oslonjene rotacione ljske. Tada se statička neodređenost lako otklanja. U drugim slučajevima potrebno je naći pomeranja u osnovnom sistemu i iz određenih uslova naći prekobrojne statičke veličine.

5. Kad su ljske obuhvaćene prstenom, može se uzeti da je $F = 0$ ako je prsten aksijalno pritisnut ili zategnut, što se javlja u specijalnim slučajevima kao što su rotaciono simetrično opterećene rotacione ljske kojima se prsten kontinualno oslanja na zid.

Analize ljski pojedinih oblika. *Rotacione ljske.* Srednja površina rotacione ljske nastaje rotacijom jedne krive (meridijana) oko jedne prave (ose rotacije), koja leži u istoj ravni sa krivom (sl. 33). Položaj ose rotacije uzima se da je vertikalalan, pa će svaka tačka A meridijana prilikom rotacije opisivati horizontalni krug AA' , koji se označava kao paralelni



Sl. 33. Srednja površina rotacione ljske izvedena rotacijom krive (meridijana) oko vertikalne rotacione ose

krug. Jednačine površina koje se pretežno primenjuju za rotacione ljske jesu:

konusna površina (sl. 34a)

$$z = r \cot \alpha = \sqrt{x^2 + y^2} \frac{h}{a} \quad (65)$$

sferna površina (sl. 34b)

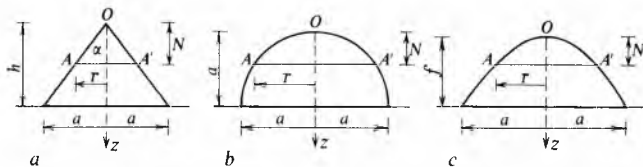
$$z = a - \sqrt{a^2 - r^2} = a - \sqrt{a^2 - x^2 - y^2} \quad (66)$$

površina rotacionog paraboloida (sl. 34c)

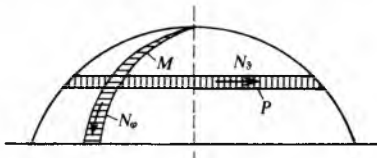
$$z = f \frac{r^2}{a^2} = f \frac{x^2 + y^2}{a^2}. \quad (67)$$

Umesto koordinata x , y , z , za rotacione ljske se obično upotrebljavaju ugaone koordinate φ , θ (sl. 33), slično kao u pomorskoj navigaciji. U tački površine sa r_1 označava se po-

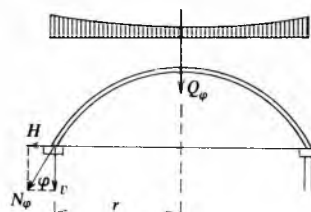
luprečnik krivine meridijanske krive, a sa r_2 poluprečnik lopte koja dodiruje paralelni krug na kome se nalazi posmatrana tačka.



Unutrašnje sile rotacione ljudske lako se nalaze kad je rotaciono simetrično opterećenje, kad je svaka ravan meridijana ujedno i ravan simetrije opterećenja. Radi lakše predstave može se zamisliti da se ljudska sastoji od meridijanskih lukova M i prstenova P na mestu paralelnih krugova (sl. 35). Rotaciono simetrično opterećena ljudska (sl. 36) obuhvaćena je kružnim prstenom koji prihvata horizontalne komponente H od sile N_φ , reakcija ljudske tangencijalnih na srednju površinu ljudske, tako da je prsten zategnut silom Z_p , a na zid ili stubove koji nose prsten prenose se samo vertikalne komponente V od sile N_φ .



Sl. 35. Statički model prenošenja opterećenja na ljudske (meridijanski lukovi i prstenovi na mestu paralelnih krugova)



Sl. 36. Rotaciono simetrično opterećena ljudska sa ivičnim prstenom

Ako se sa Q_φ označi zbir svih vertikalnih spoljnih sila na ljudsci, onda je

$$V = -N_\varphi \sin \varphi = \frac{Q_\varphi}{2\pi r \sin \varphi} \sin \varphi = \frac{Q_\varphi}{2\pi r} \quad (68)$$

$$H = -N_\varphi \cos \varphi = \frac{Q_\varphi}{2\pi r} \cot \varphi \quad (69)$$

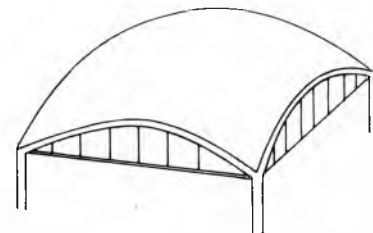
$$Z_p = Hr = -N_\varphi r \cos \varphi = \frac{Q_\varphi}{2\pi} \cot \varphi. \quad (70)$$

Ljudske oblike eliptičkog paraboloida. Ako se jednačina eliptičkog paraboloida unese u izraz (55) sa opterećenjem $g_x = 0$, $g_y = 0$, $g_z = q$, dobija se diferencijalna jednačina ravnoteže

$$\frac{f_2}{b^2} \frac{\partial^2 F}{\partial x^2} + \frac{f_1}{a^2} \frac{\partial^2 F}{\partial y^2} = \frac{q}{2}. \quad (71)$$

Problem se sastoji u traženju rešenja koje će istovremeno da zadovolji realne granične uslove. Oni zavise od ivičnih elemenata koji mogu biti elastični ili kruti, tako da u pojedinim koordinatnim pravcima daju nepomerljiv ili elastični oslonac, ili pak ne pružaju nikakav otpor.

Ljudska oblika eliptičkog paraboloida nad kvadratnom ili pravougaonom osnovom oslanja se na elastične ivične lukove (sl. 37), gde se njihovi potisci obično preuzimaju zategama koje su vešaljkama obešene o luk.

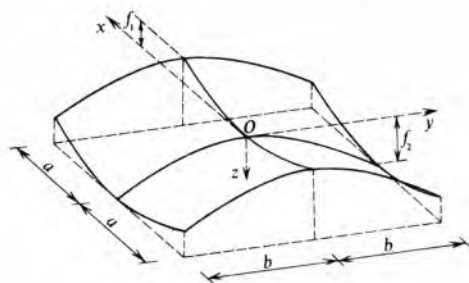


Sl. 37. Ljudska oblika eliptičkog paraboloida nad kvadratnom ili pravougaonom osnovom

Ljudske oblike hiperboličkog paraboloida. Element površine hiperboličkog paraboloida se često upotrebljava kao srednja površina ljudske sa paraboličnim ili pravim ivicama.

Hiperbolični paraboloid sa paraboličnim ivicama (sl. 38) definisan je jednačinom (16). Kada se ta jednačina unese u izraz (55) sa opterećenjem $g_x = 0$, $g_y = 0$, $g_z = q$, dobija se diferencijalna jednačina ravnoteže

$$\frac{f_1}{a^2} \frac{\partial^2 F}{\partial x^2} - \frac{f_2}{b^2} \frac{\partial^2 F}{\partial y^2} = \frac{q}{2}. \quad (72)$$



Sl. 38. Ljudska oblika hiperboličkog paraboloida sa paraboličnim ivicama

Ako se za naponsku funkciju izabere relacija

$$F = -\frac{1}{4} \frac{b^2}{f_2} q x^2, \quad (73)$$

kao jedna od mogućnosti (W. Flügge, *Stresses in Shells*), zamemom u (52) dobija se

$$n_x = 0, \quad n_y = -\frac{1}{2} \frac{b^2}{f_2} q, \quad n_{xy} = 0. \quad (74)$$

Prema tome celokupno se opterećenje u ljudsci prenosi duž parabola paralelnih sa yOz ravni, a puno je oslanjanje u ravni $y = \pm b$.

Za drugu izabrano mogućnost kad je

$$F = \frac{1}{4} \frac{a^2}{f_1} q x^2 \quad (75)$$

dobija se

$$n_x = \frac{1}{2} \frac{a^2}{f_1} q, \quad n_y = 0, \quad n_{xy} = 0. \quad (76)$$

Celokupno opterećenje prenosi se, dakle, duž parabola paralelnih sa xOz ravni, a oslanjanje je u ravni $x = \pm a$.

Treća mogućnost sastoji se u raspodeli prenošenja opterećenja na oba sistema parabola. Tada je naponska funkcija

$$F = -\frac{1}{8} \left(\frac{b^2}{f_2} x^2 - \frac{a^2}{f_1} y^2 \right) q, \quad (77)$$

pa se dobija

$$n_x = \frac{1}{4} \frac{a^2}{f_1} q, \quad n_{xy} = 0. \quad (78)$$

Izbor funkcije F i time pravaca prenošenja opterećenja treba provesti zavisno od ivičnog oslanjanja. Kada postoji puno osla-

njanje na ivicama $y = \pm b$ i nema izrazitijih ukrućenja na ivicama $x = \pm a$, nema ni značajnijeg oslanjanja na viseće parbole, pa se konstrukcija ponaša kao svod. Kada postoje lukovi na ivicama u ravnima $x = \pm a$ i nema oslanjanja duž ivica $y = \pm b$, viseće parbole predaju svoje reakcije lukovima. Treće rešenje je primenljivo kada su sve ivice krute.

Hiperbolični paraboloid sa pravim ivicama i upravnim koordinatnim osama x, y (sl. 21b) definisan je jednačinom (15). Unošenjem te jednačine u izraz (55), uvezši u obzir (57) i $k = \frac{f}{ab}$, a za opterećenje $g_x = 0, g_y = 0, g_z = q$, dobija se diferencijalna jednačina ravnoteže ljske

$$2 \frac{\partial^2 F}{\partial x \partial y} k = q. \quad (79)$$

Pomoću izraza (52) izvodi se

$$n_{xy} = n_{yx} = -\frac{q}{2k}. \quad (80)$$

Diferenciranjem po x nastaje

$$\frac{\partial^2 F}{\partial x^2 \partial y} = \frac{1}{2k} \frac{\partial q}{\partial x} \quad (81)$$

i integriranjem po y dobija se prema (52)

$$\frac{\partial^2 F}{\partial x^2} = \frac{1}{2k} \int \frac{\partial q}{\partial x} dy + f_2(x) = n_y + G_y. \quad (82)$$

Slično se dobija

$$\frac{\partial^2 F}{\partial y^2} = \frac{1}{2k} \int \frac{\partial q}{\partial y} dx + f_1(y) = n_x + G_x. \quad (83)$$

Pošto je $g_x = 0, g_y = 0, g_z = q$, izrazi (80), (82), (83) svode se na

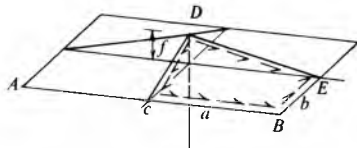
$$n_{xy} = -\frac{q}{2k}, \quad n_y = f_2(x), \quad n_x = f(y). \quad (84)$$

Ljska u obliku kišobrana (sl. 39), oslonjena na jedan stub, sastoji se od četiri elementa hiperboličnog paraboloida sa pravim ivicama, gde su ravni simetrije xOz i yOz . Za $BC = a$, $BE = b$ i $DA = f$ dobija se konstanta

$$k = \frac{f}{ab} \quad (85)$$

i rezultanta smicanja

$$n_{xy} = -\frac{q}{2k} = -\frac{q ab}{2 f}. \quad (86)$$



Sl. 39. Ljska u obliku kišobrana od četiri elementa hiperboličnog paraboloida sa pravim ivicama oslonjena na jedan stub

Na sl. 39 prikazano je dejstvo tih sila, a pošto je n_{xy} sila po jedinici dužine, ukupni pritisak u tački C dobija se integracijom rezultanti smicanja po dužini ivice, pa je

$$N_C = n_{xy} a = -\frac{qa}{2k}. \quad (87)$$

Integracijom rezultante smicanja duž kose ivice CD dobija se sila zatezanja u tački D , i to od elementa $BCDE$

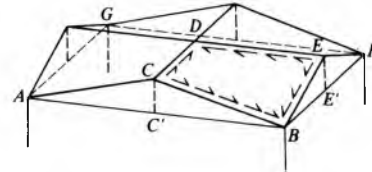
$$N_{DC} = \frac{q}{2k} \sqrt{b^2 + f^2}. \quad (88)$$

Na sličan način se dobija sila zatezanja u tački D od ivice DE od elementa $BCDE$

$$N_{DE} = \frac{q}{2k} \sqrt{a^2 + f^2}. \quad (89)$$

Ukupne sile u ivicama CD , odnosno DE , iznose $2N_{DC}$, odnosno $2N_{DE}$, jer po dva susedna elementa deluju na te ivice.

Ljska od četiri elementa hiperboličnog paraboloida sa pravim ivicama (sl. 40), oslonjena na četiri stuba, ima jednostavnu raspodelu sila kao i prethodna. Ovde su neophodne zatege AB, BF, FG, AG .



Sl. 40. Ljska od četiri elementa hiperboličnog paraboloida sa pravim ivicama oslonjena na četiri stuba

Kroz tačku M površine jednog elementa ljske, oblika hiperboličnog paraboloida sa pravim ivicama (sl. 41a), prolaze dve parbole, od kojih se jedna može uzeti za pritisnuti luk, a druga za lančanicu. Jednačina je ose luka (sl. 41b) u koordinatnom sistemu (u, z)

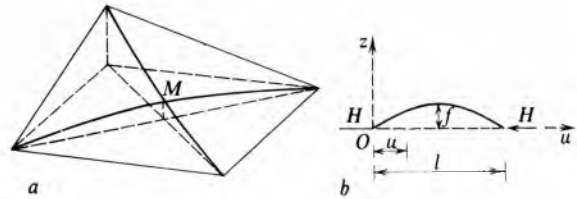
$$z = \frac{4f}{l^2} u(l-u), \quad (90)$$

gde je f strela, a l raspon luka. Pod pretpostavkom da se opterećenje q ljske podjednako raspodeljuje na luk i na lančanicu, a iž uslova da je moment u temenu luka jednak nuli,

$$M = \frac{1}{8} \frac{q}{2} l^2 - H f = 0, \quad (91)$$

dobija se

$$H = \frac{1}{2} \frac{q l^2}{8f}. \quad (92)$$



Sl. 41. Pritisнута параболична трака и затегнута параболична трака лјуске облика хипербoličног парaboloida (a) и парабола у координатном систему uOz у равни преношења притиска (b)

Diferencirajući dvaput po u jednačinu za z (90) izlazi

$$\frac{\partial^2 z}{\partial u^2} = -\frac{8f}{l^2}. \quad (93)$$

pa se zamenom vrednosti iz jednačine (92) dobija

$$H \frac{d^2 z}{du^2} = -\frac{q}{2}, \quad (94)$$

Pošto je $K = \frac{\partial^2 z}{\partial u^2}$, dobija se za luk

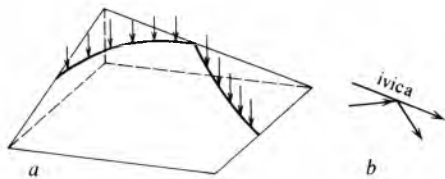
$$H = -\frac{q}{2K}, \quad (95)$$

a za lančanicu

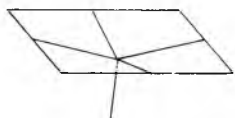
$$H = \frac{q}{2K}. \quad (96)$$

Na ivici ljske (sl. 42a) reakcije luka i lančanice daju rezultantnu silu pritiska ili zatezanja koja je paralelna s ivicom (sl. 42 b).

Kombinovanje elemenata ljske oblika hiperboličnog paraboloida pruža interesantne i raznovrsne mogućnosti za formiranje krovnih konstrukcija, od kojih su neke prikazane na sl. 43, 44 i 45.



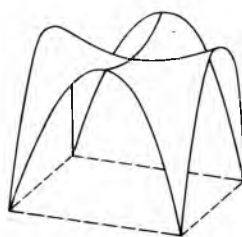
Sl. 42. Reakcije pritisнуте parabolične trake i zategnutе parabolične trake na ivici ljske oblika hiperboličnog paraboloida. a) položaj parabola na ljsci, b) reakcije paraboličnih traka i rezultujuća sila duž ivice ljske



Sl. 43. Ljska od četiri elementa hiperboličnog paraboloida oslonjena na jedan stub (pečurasta ljska)



Sl. 44. Kose pečuraste ljske u nizu koje formiraju testerastu konturu krova radi osvetljavanja hale

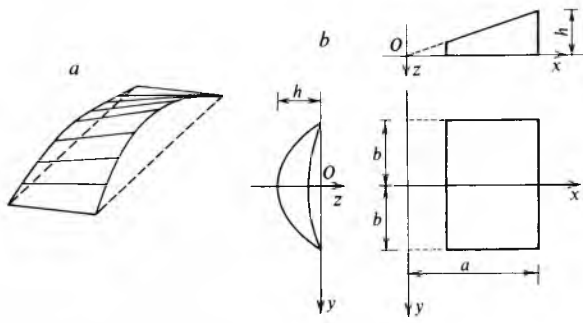


Sl. 45. Ljska od četiri elementa hiperboličnog paraboloida sa paraboličnim ivicama

Ljske konoidnog oblika. Konoidna ljska (sl. 46a), sa parabolom kao linijom vodiljom u vertikalnoj ravni, izvedena je kretanjem prave paralelno vertikalnoj ravni simetrije ljske po paraboli i po pravoj upravnoj na ravan simetrije ljske (sl. 46b). Na dvema naspramnim stranama ljska se oslanja na ivične lukove, a na drugim dvema stranama nalaze se horizontalni ivični nosači. U koordinatnom sistemu (x, y, z) srednja površina ljske je predstavljena jednačinom

$$z = -\frac{x}{a} \left(1 - \frac{y^2}{b^2}\right). \quad (97)$$

Za opterećenje ljske uzima se da je $g = g(x, y)$, koje je simetrično s obzirom na ravan simetrije ljske $y = 0$. Za razmatrane ljske važi



Sl. 46. Konoidna površina. a) aksonometrijski izgled, b) ortogonalne projekcije

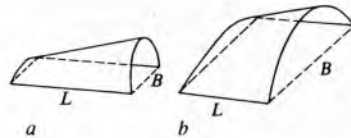
$$\frac{\partial^2 z}{\partial x^2} = 0, \quad \frac{\partial^2 z}{\partial x \partial y} = \frac{2hy}{ab^2}, \quad \frac{\partial^2 z}{\partial y^2} = \frac{2hx}{ab^2}, \quad (98)$$

pa se izrazom (51) za naponsku funkciju $F = F(x, y)$ dobija

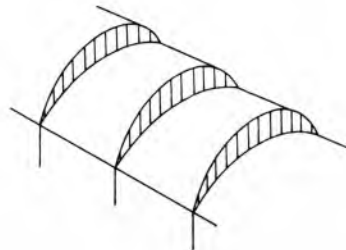
$$-\frac{4hy}{ab^2} \frac{\partial^2 F}{\partial x \partial y} + \frac{2hx}{ab^2} \frac{\partial^2 F}{\partial x} + g = 0. \quad (99)$$

Naponska funkcija se bira u zavisnosti od ivičnih uslova.

Najveća je zakrivljenost ljske u blizini čeonog luka. Kada je raspon luka B mali s obzirom na dužinu ljske L ($L > B$), tj. kad je ljska duga (sl. 47a), tada se može uzeti da se opterećenje pretežno prenosi lučno prema pravim ivicama (kao u svodu). Kad je ljska kratka (sl. 47b), odnosno kad je $B > L$, opterećenje se prenosi u većoj meri prema lučnim ivicama. Primena konoidnih ljski za formiranje testerastog krova prikazana je na sl. 48.



Sl. 47. Duga konoidna ljska (a) i kratka konoidna ljska (b)



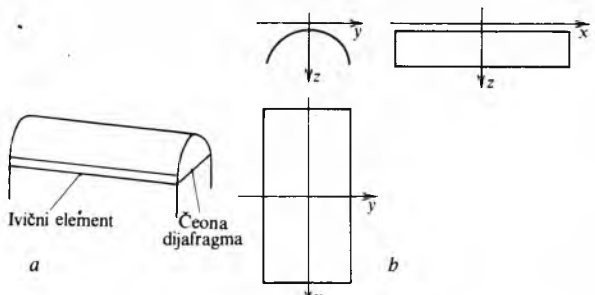
Sl. 48. Testerasti krov formiran konoidnim ljskama

Cilindrična ljska ima na svojim čeonim ivicama luk ili zidni nosač (dijafragmu), a na pravim ivicama ivične grede (ivične elemente) (sl. 49a). Razmatra se ljska koja ima međusobno upravne ravne dijafragme i ivičnih elemenata. Jednačina je srednje površine cilindrične ljske (sl. 49b) u koordinatnom sistemu (x, y, z)

$$z = f(y) \quad (100)$$

a uzima se da vertikalno opterećenje ne zavisi od x , pa je

$$g = g(y).$$



Sl. 49. Cilindrična ljska. a) ljska sa ivičnim elementima i čeonim dijagragmama, b) ljska u pravougaonom koordinatnom sistemu

Za cilindrične ljske važi

$$\frac{\partial^2 z}{\partial x^2} = 0, \quad \frac{\partial^2 z}{\partial x \partial y} = 0, \quad \frac{\partial^2 z}{\partial y^2} = \frac{d^2 z}{dy^2}, \quad (101)$$

tako da izraz (51) za naponsku funkciju $F = F(x, y)$ daje

$$\frac{d^2 z}{dy^2} \frac{\partial F}{\partial x^2} + g(y) = 0. \quad (102)$$

Dvokratnim integriranjem ove jednačine dobija se

$$F = - \iint \frac{g(y)}{\frac{d^2 z}{dy^2}} dx dy. \quad (103)$$

U toj formuli izraz pod znakom integrala

$$\frac{g(y)}{\frac{d^2 z}{dy^2}} \equiv G(y) \quad (104)$$

ne zavisi od x , pa se može staviti ispred znaka integrala

$$F = -G(y) \iint dx dy = -\frac{x^2}{2} G(y) + x K(y) + L(y), \quad (105)$$

gde su $K(y)$ i $L(y)$ funkcije koje se određuju u zavisnosti od uslova oslanjanja ljske. Pošto je naponska funkcija F nađena, iz relacija (50) dobijaju se redukovane sile

$$n_x = -\frac{\partial^2 F}{\partial y^2} = -\frac{x^2}{2} \frac{d^2 G(y)}{dy^2} + x \frac{d^2 K(y)}{dy^2} + \frac{d^2 L(y)}{dy^2} \quad (106)$$

$$n_{xy} = -\frac{\partial^2 F}{\partial x \partial y} = x \frac{dG(y)}{dy} - \frac{dK(y)}{dy} \quad (107)$$

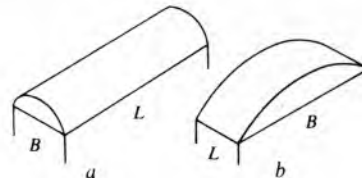
$$n_y = \frac{\partial^2 F}{\partial x^2} = -G(y). \quad (108)$$

Te formule pokazuju da na vrednost od n_y utiču samo vertikalne sile i da ona ne zavisi od oslončkih uslova. Zbog toga ivične elemente treba tako konstruisati da silama n_y na ivicama ljske ne pružaju otpor. Pogodnom izborom funkcija $K(y)$ i $L(y)$ može se postići da na mestu zakriviljene ivice bude $n_x = 0$ i da je dijagma savitljiva upravno na svoju ravan.

Cilindrične ljske se klasifikuju zavisno od odnosa dužine L prema širini B (sl. 50): duge ljske $L:B > 2$, srednje ljske $1 < L:B \leq 2$, kratke ljske $L:B \leq 1$. S obzirom na naprezanje duga ljska se približno ponaša kao greda zakriviljenog poprečnog preseka (sl. 50a). U kratkim ljskama dominira membransko stanje naprezanja; one se ponašaju slično kao svodovi oslojeni na dijagrame ili lukove (sl. 50b).

Ostali oblici ljski. Pored navedenih, najviše primenjivanih oblika ljski i njihovih kombinacija, izvode se i druge forme koje su povoljne s obzirom na ostvarivanje membranskog stanja

naprezanja u ljsci. Za viseće konstrukcije upotrebljavaju se prefabrikovane armiranobetonske ploče kojima se formira krovna površina i posle betoniranja spojnica dobija se prednapregnuta ljska u obliku obrnute kupole ili obrnutog svoda. Tako ostvarena kruta armiranobetonska ljska malo se deformiše pri različitim opterećenjima krova, čime je i mreža kablove koja nosi ljsku obezbeđena od većih promena svoga oblika.



SL. 50. Duga cilindrična ljska (a) i kratka cilindrična ljska (b)

Konstruisanje ljski. Ljske se najčešće realizuju od armiranog betona, a takođe i od prednapregnutog betona. Sem toga, one se izrađuju od drveta, metala i livenih plastičnih materijala. Armiranobetonske ljske najčešće se izvode u debeljinama od 5–8 cm. Ekonomičnost tih ljski mnogo zavisi od oplate za njihovo livenje, zbog čega se teži prefabrikaciji elemenata ljske u kalupima sa toplotnom obradom betona, da bi se kalup brzo oslobođio za livenje novog elementa. Ljska se tada formira montiranjem prefabrikovanih delova i posle betoniranja spojnica dobija se monolitna celina. Kada se ljska betonira u opati na gradilištu, vreme zadržavanja opate znatno se skraćuje ako se primeni topotorna obrada betona, kojom se za kraće vreme postiže dovoljna čvrstoća betona da se opata može ukloniti i iskoristiti za sledeći element ljske.

LIT.: W. Flügge, *Stresses in Shells*, Springer-Verlag OHG, Berlin 1960. — M. Sanchez-Arcas, *Form und Bauweise der Schalen*. VEB Verlag für Bauwesen, Berlin 1961. — Инструкция по проектированию железобетонных тонкостенных пространственных покрытий и перекрытий Госстройиздат, Москва 1961. — C. Faber, *Candela*, The Shell Builder. Reinhold Publishing Corp., New York 1963. — D. P. Billington, *Thin Shell Concrete Structures*. McGraw-Hill Book Company, New York 1965. — K. Girkmann, *Površinski nosači*. Građevinska knjiga, Beograd 1965 (prevod). — P. Csonka, *Membranschalen*. Wilhelm Ernst & Sohn, Berlin 1966. — L. Fischer, *Theorie und Praxis der Schalenkonstruktionen*. Wilhelm Ernst & Sohn, Berlin 1967. — A. M. Haas, *Design of Thin Concrete Shells*, Vol. 2. John Wiley & Sons, New York 1967. — P. Starke, *Biegungsteife Rotationsschalen*. Wilhelm Ernst & Sohn, Berlin 1968. — P. M. Ogibalov i T. Andelić, *Mehanika ljski i ploča*. Izdavačko-informativni centar studenata, Beograd 1975. — H. Röhle, *Prostorne krovne konstrukcije*. Građevinska knjiga, Beograd 1977 (prevod).

Đ. Zloković